

<http://journal.rmutp.ac.th/>

## ศึกษาตัวแปรที่มีผลต่อท่อความร้อนที่ติดตั้งวัสดุพรุนชนิดตาข่าย

สิติพงศ์ เสน่ยมศักดิ์<sup>1\*</sup> สุพัตรา บุไธสง<sup>2</sup> และ สัมพันธ์ ฤทธิเดช<sup>3</sup>

<sup>1,2</sup> คณะเทคโนโลยีอุตสาหกรรมเกษตร มหาวิทยาลัยเกษตรศาสตร์

<sup>1,2</sup> 62/1 ถนนเกษตรสมบูรณ์ ตำบลกาฬสินธุ์ อำเภอเมืองกาฬสินธุ์ จังหวัดกาฬสินธุ์ 46000

<sup>3</sup> คณะวิศวกรรมศาสตร์ มหาวิทยาลัยมหาสารคาม

<sup>3</sup> ตำบลสามเรียง อำเภอ กันทรลักษ์ จังหวัดมหาสารคาม 44150

รับบทความ 3 พฤษภาคม 2561; ตอบรับบทความ 10 สิงหาคม 2561

### บทคัดย่อ

งานวิจัยนี้มุ่งศึกษาตัวแปรที่มีผลต่อท่อความร้อน ซึ่งเป็นการศึกษาคุณลักษณะของการถ่ายโอนความร้อนของท่อความร้อนที่ติดตั้งวัสดุพรุนชนิดตาข่าย ซึ่งท่อความร้อนทำจากห่อหงองแดง มีตัวแปรคือ ขนาดเส้นผ่าศูนย์กลางภายใน 10 และ 12 มิลลิเมตร ยาว 30 เซนติเมตร ซึ่งมีวัสดุพรุนชนิดตาข่ายของแดงติดตั้งภายในท่อ สารทำงานที่บรรจุภายในท่อความร้อน คือ น้ำกลั่น เอทานอล และ สารทำความสะอาดเย็น-11 (R-11) มีอัตราส่วนการเติมสารทำงานร้อยละ 50 ของส่วนที่ระเหย และมีการกำหนดอุณหภูมิในส่วนที่ระเหยไว้ที่ 50, 70 และ 90 องศาเซลเซียส โดยในส่วนควบแน่นได้รับการระบายน้ำความร้อนที่อุตสาหกรรมไฟฟ้าของน้ำรับความร้อน 0.5 ลิตรต่อนาที และตัวแปรทั้งหมดจะทำการเปรียบเทียบกับท่อที่ไม่ได้ติดวัสดุพรุนชนิดตาข่ายพบว่า ท่อความร้อนขนาด 12 มิลลิเมตร ให้การถ่ายโอนความร้อนต่ำสุด 73.3 วัตต์ เมื่อใช้สารทำงาน R-11 ที่อุณหภูมิส่วนที่ระเหย 90 องศาเซลเซียส และให้ประสิทธิภาพของท่อความร้อน ร้อยละ 58.2 เมื่อเปรียบเทียบกับท่อที่ไม่ได้ติดวัสดุพรุนชนิดตาข่าย ทั้งนี้พบว่า เนื่องจากวัสดุพรุนจะช่วยในการลดความร้อนที่เกิดการควบแน่นที่ส่วนควบแน่นกลับมาสูงส่วนที่ระเหย เพื่อมารับความร้อน และช่วยให้ของเหลวที่ควบแน่นกระจายตัวรอบผิวนอกของท่อความร้อน เป็นผลให้สารทำงานที่ควบแน่นกลับสูงส่วนที่ระเหยได้ดี และส่งผลต่อค่าการถ่ายโอนความร้อนสูงขึ้น

คำสำคัญ : ท่อความร้อน; วัสดุพรุนชนิดตาข่าย; การถ่ายโอนความร้อน

\* ผู้นี้พนักงานประจำ โทร: +668 7970 0797, ไปรษณีย์อิเล็กทรอนิกส์: satitpong@live.com

<http://journal.rmutp.ac.th/>

## Study of parameters have effected to the heat pipe with mesh wick

Satitpong Sangiamsuk<sup>1\*</sup> Supattra Boothaisong<sup>2</sup> and Sampan Rittidech<sup>3</sup>

<sup>1,2</sup> Faculty of Agro-Industrial, Kalasin University

<sup>1,2</sup> 62/1 Kaset Sombun Road, Kalasin, Mueang, Kalasin, 46000

<sup>3</sup> Faculty of Engineering, Mahasarakham University

<sup>3</sup> Khamriang, Kantarawichai, Mahasarakham, 44150

---

Received 3 May 2018; Accepted 10 August 2018

### Abstract

This research aims to study the parameters have affected the heat pipe which was studied the heat transfer characteristics of a heat pipe with a mesh wick. The heat pipe made from copper tubes with internal diameter (ID) as 10 and 12 mm and length of 30 cm which was installed a copper mesh wick inside a tube. Three working fluids are distilled water, ethanol and refrigerants-11 (R-11). The filling ratios is 50% with respect to evaporator volume. The operating temperature at the evaporator section is: 50, 70 and 90 °C. The condenser section has cooled by water with a flow rate of 0.5 L/min. Then, all of the experimental data were compared with the heat pipe without copper mesh wick. It was found that the heat pipe at ID 12 mm yielded a better heat transfer rate when compared with heat pipe without a mesh wick. The heat pipe produced a heat transfer rate value of 73.3 W and heat pipe efficiency of 58.2 at evaporator section's temperature of 90 °C. In addition, the mesh wicks will help transfer the working fluid in the condenser section return to the evaporator section. The condensed liquid had spread around the walls of the heat pipe. The working fluid was condensed to the evaporator section then affected to a higher heat transfer rate.

**Keywords :** Heat Pipe; Mesh Wick; Heat Transfer Rate

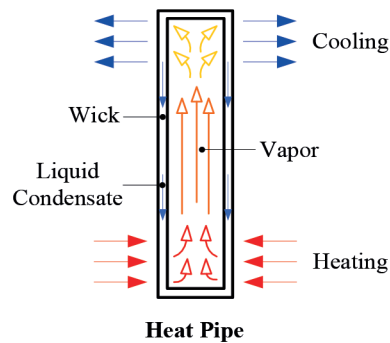
---

\* Corresponding Author. Tel.: +668 7970 0797, E-mail Address: satitpong@live.com

## 1. บทนำ

ในปัจจุบันเป็นยุคในการแข่งขันด้านเทคโนโลยีต่าง ๆ ซึ่งมีการนำทรัพยากรธรรมชาติตามาใช้อย่างมากmany ทั้งในภาคอุตสาหกรรม และชีวิตประจำวัน เป็นปัจจัยที่ทำให้เกิดผลกระทบกับสิ่งแวดล้อม โดยในกระบวนการผลิตเกือบทุกอุตสาหกรรมจะมีความร้อนทึ้ง หลายรูปแบบทั้งความร้อน และความเย็น ทั้งเป็นลมร้อน น้ำร้อน และแต่กระบวนการผลิต หรือแม้กระทั้งอุปกรณ์ที่ใช้ในชีวิตประจำวัน อย่างเช่น คอมพิวเตอร์ ซึ่งความร้อนเหล่านี้สามารถนำกลับมาใช้เป็นแหล่งพลังงานอีกด้วย หรือที่เรียกว่า การนำความร้อนกลับมาใช้ใหม่ (Heat Recovery) ใน การส่งถ่ายพลังงานความร้อนนั้นมีอุปกรณ์ถ่ายโอนความร้อนหลายประเภทที่รู้จักกันโดยทั่วไปคือ ห้องไอน้ำ ความร้อน ชุดแลกเปลี่ยนความร้อน ซึ่งเป็นอุปกรณ์ที่ต้องอาศัยอุปกรณ์อื่นช่วยเสริมในการทำงาน และมีอุปกรณ์อีกประเภทหนึ่งที่เรียกว่า ท่อความร้อน (Heat Pipe) ซึ่งเป็นอุปกรณ์อย่างง่ายที่มีความสามารถในการถ่ายโอนความร้อนจากจุดหนึ่งไปยังจุดหนึ่งได้อย่างรวดเร็ว ซึ่งสามารถถ่ายโอนความร้อนได้ทั้งหมดโดยไม่มีการสูญเสีย อาศัยการเปลี่ยนแปลงสถานะของสารที่บรรจุอยู่ภายในท่อ ซึ่งไม่ต้องอาศัยงานกลาจกภายนอกให้กับท่อความร้อน และดังรูปที่ 1 และถูกนำมาใช้ในการควบคุมความร้อนในอุปกรณ์อิเล็กทรอนิกส์ต่างๆ [1,2] เช่น การนำไปประยุกต์ใช้งานในการถ่ายโอนความร้อน ในอุตสาหกรรมการระบายความร้อนในอุปกรณ์อิเล็กทรอนิกส์ การนำไปประยุกต์ใช้งานกับพลังงานแสงอาทิตย์ เพื่อใช้ในกระบวนการทำน้ำร้อน [3,4] นำไปใช้ด้านการประหยัดพลังงานในระบบปรับอากาศ [5] ใช้ในการแลกเปลี่ยนความร้อนในอุตสาหกรรมทั่วไป [6] รวมถึงยังสามารถใช้เพิ่มประสิทธิภาพให้เซลล์แสงอาทิตย์ได้ [7] โดยส่วนประกอบของท่อความร้อนจะเป็นท่อโลหะที่ปิดหัวท้ายภายในเป็นสูญญากาศที่มีสารทำงาน (Working Fluid) บรรจุอยู่ภายใน โดยปกติเป็นสารทำความเย็น

(Refrigerant) การทำงานของท่อความร้อนอาศัยหลักการเปลี่ยนสถานะจากการระเหยและควบแน่นร่วมกับแรงโน้มถ่วง สารทำงานเมื่อได้รับความร้อนจึงระเหยเป็นไออยู่ขึ้นไปยังด้านที่สูงกว่าแล้วคายความร้อนออก ทำให้ออกของสารทำงานมีอุณหภูมิลดลงถึงจุดควบแน่น กลายเป็นของเหลวตกลงสู่ด้านที่ต่ำกว่าอีกครั้ง ด้วยเหตุนี้จึงเรียกด้านที่อยู่ต่ำกว่าเป็นด้านระเหย (Evaporator Section) และเรียกด้านที่อยู่สูงกว่าเป็นด้านควบแน่น (Condenser Section) [8]



รูปที่ 1 ท่อความร้อน Heat Pipe

วัสดุพรุน (Wick) คือวัสดุที่ประกอบไปด้วยโครงสร้างของรูพรุน ที่ทำเป็นช่องกลวงที่ติดต่อกันได้ เช่น ลวดตาข่าย สักหลาด และผองอัด ซึ่งเรียกอย่างหนึ่งว่าเป็นวัสดุเนื้อดีเยียว มีความสามารถที่ทำให้เกิดความดันยกตัว เพื่อทำให้เกิดการส่งถ่ายสารทำงานจากส่วนควบแน่นกลับมายังส่วนทำระเหย ซึ่งช่วยในการเคลื่อนที่ของสารทำงานภายในท่อความร้อน และส่งผลต่อการถ่ายโอนความร้อน และหากมีการนำสารทำงานประเภท Nano-fluid มาประยุกต์ใช้กับท่อความร้อนที่ติดตั้งวัสดุพรุนชนิดตาข่ายจะยิ่งช่วยเพิ่มค่าการถ่ายโอนความร้อนขึ้น [9,10]

ด้วยเหตุนี้คุณสมบัติจึงเลือกที่จะนำวัสดุพรุนชนิดตาข่ายไปติดตั้งภายในท่อความร้อน และทำการศึกษาตัวแปรที่มีผลต่อคุณลักษณะการถ่ายโอนความร้อนของท่อความร้อนที่ติดตั้งวัสดุพรุนชนิดตาข่าย เพื่อ

เป็นข้อมูลที่จะนำไปประยุกต์ใช้ในกระบวนการนำความร้อนกลับมาใช้ใหม่ และเป็นข้อมูลใช้ในการประยุกต์กับตัวแปรที่มีผลต่อการถ่ายโอนความร้อนต่อไป

## 2. ระเบียบวิธีวิจัย

### 2.1 อุปกรณ์ที่ใช้ในการทดลอง

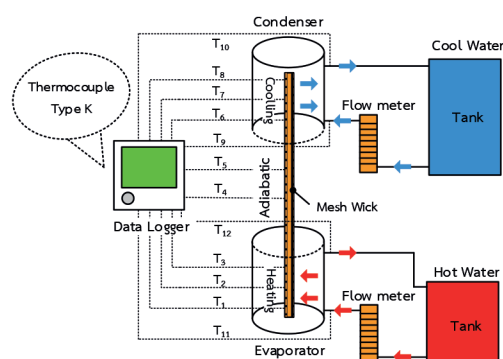
จากรูปที่ 2 แสดงแผนผังชุดทดลองที่อุ่นความร้อนที่ติดตั้งวัสดุพรุนชนิดตาข่ายภายใน และแสดงรูปการทดลองจริงที่ใช้ในงานวิจัยนี้ ดังรูปที่ 3 ชุดท่อความร้อน มีส่วนประกอบหลัก คือ ส่วนทำระเหย ซึ่งทำการห่อ ทองแดงขนาดเส้นผ่านศูนย์กลางภายใน 10 และ 12 มิลลิเมตร ยาว 30 เซนติเมตร ประกอบด้วย ส่วนทำระเหย (Evaporation Section) ส่วนกันความร้อน (Adiabatic Section) และส่วนควบแน่น (Condensation Section) มีความยาว 10 เซนติเมตร เท่าๆ กัน และภายในท่อความร้อนมีวัสดุพรุนชนิดตาข่ายบรรจุอยู่ ดังรูปที่ 4 โดยมีความหนาของวัสดุพรุน 1 มิลลิเมตร โดยที่ส่วนทำระเหย และส่วนควบแน่นของท่อความร้อนติดตั้งไว้ภายในกล่องน้ำร้อน น้ำเย็นภายในท่อความร้อนบรรจุสารทำงานที่ร้อยละ 50 ของส่วนทำระเหย โดยในที่นี่ได้ใช้สารทำงานเป็น น้ำก๊าซเอทานอล และ R-11 รายละเอียดของท่อความร้อนที่ติดตั้งวัสดุพรุนชนิดตาข่ายภายในที่ใช้ในงานวิจัยนี้ แสดงดังตารางที่ 1

ท่อความร้อนได้รับความร้อนจากน้ำร้อนที่ถูกควบคุมด้วยชุดควบคุมอุณหภูมิ ไว้ที่อุณหภูมิ 50, 70 และ 90 องศาเซลเซียส ไปยังส่วนทำระเหย ซึ่งทำหน้าที่ในการรับความร้อน และความร้อนจะถูกสารทำงานภายในท่อความร้อนส่งถ่ายไปยังส่วนควบแน่น ในขณะที่ส่วนควบแน่นแลกเปลี่ยนความร้อนกับน้ำที่ไหลผ่านท่อตราชาร์โกล 0.5 ลิตรต่อนาที (Flowmeter, Tretton Z-3001) จากนั้นนำที่รับความร้อนจึงไหลไปยังถังเก็บแล้วทำการวนกลับมารับความร้อนซ้ำที่ส่วนควบแน่นโดยถังเก็บทุกชั้นวนกันความร้อนไว เพื่อไม่มีการแลกเปลี่ยนความร้อน ซึ่งอุปกรณ์ในการทดลองที่ทำการ

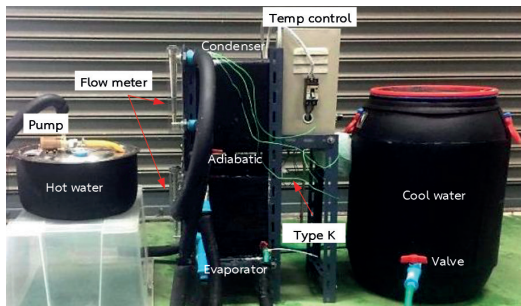
เก็บข้อมูลอุณหภูมิที่ได้จากการทดลองคือเครื่องบันทึกอุณหภูมิ (Data Logger, Zupcon MultiFR5000)

ตารางที่ 1 รายละเอียดของท่อความร้อนที่ติดตั้งวัสดุพรุนภายใน และเงื่อนไขการทดลอง

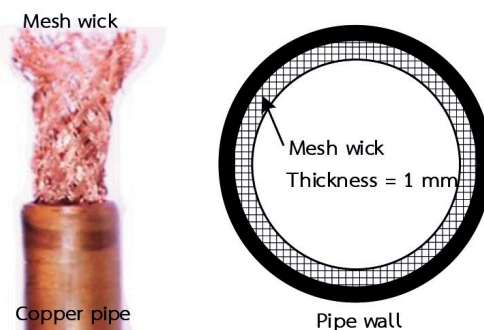
ท่อความร้อนที่ติดตั้งวัสดุพรุนภายใน	
วัสดุท่อ	ท่อทองแดง
วัสดุพรุน	ตาข่ายทองแดง
ขนาดท่อ	เส้นผ่านศูนย์กลางภายใน 10 และ 12 มิลลิเมตร
ความยาวท่อ	ส่วนทำระเหย 10 เซนติเมตร ส่วนกันความร้อน 10 เซนติเมตร ส่วนควบแน่น 10 เซนติเมตร
สารทำงาน	น้ำก๊าซ เอทานอล และ R-11
ภายในท่อความร้อน	ติดตั้งวัสดุพรุน และไม่ติดตั้งอุณหภูมิส่วนทำระเหย 50, 60 และ 90 องศาเซลเซียส
เงื่อนไขการทดลอง	
การเติมสารทำงาน	50% ของส่วนทำระเหย
อัตราการไหลงน้ำ	ส่วนควบแน่น คือ 0.5 ลิตรต่อนาที
อุณหภูมน้ำ	25 ± 2 องศาเซลเซียส



รูปที่ 2 แผนผังชุดทดลองท่อความร้อนที่ติดตั้งวัสดุพรุนชนิดตาข่ายภายใน



รูปที่ 3 ภาพการติดตั้งการทดลองจริง



รูปที่ 4 วัสดุพรุนชนิดตาข่ายภายในท่อความร้อน

## 2.2 วิธีการทดลอง

การทดลองเริ่มจากการเติมสารทำงานเข้าสู่ท่อความร้อนที่ทำให้เป็นสุญญากาศ ที่อัตราการเติมสารร้อยละ 50 ของส่วนทำระเหย ให้เป็นไปตามเงื่อนไขที่ได้กำหนดไว้ แล้วก็ประกอบชุดท่อความร้อนเข้ากับกล่องน้ำร้อน-น้ำเย็น จากนั้นทำการติดตั้งเข้ากับแท่นชุดทดลอง โดยที่ส่วนควบคุมจะมีอุปกรณ์วัดอัตราการไหลของน้ำ (Flow Meter, Treatton Z-3001) โดยที่ด้านน้ำเข้าจะทำการติดตั้งวอล์ปั๊บการไหลก่อนเข้าตัววัดอัตราการไหลไว้ และอีกด้านหนึ่งจะต่อสายยางที่หุ้มฉนวนกันความร้อนไปยังถังเก็บ โดยที่ตัวของถังเก็บจะติดตั้งปืนน้ำ เพื่อให้เลี้ยวน้ำในการแลกเปลี่ยนความร้อนภายในระบบ ในขณะที่อุณหภูมิต่างๆ จะได้รับการตรวจวัดอย่างต่อเนื่องด้วยสายเทอร์โมคัปเปิล ชนิด K และบันทึกด้วยเครื่องบันทึกอุณหภูมิ (Data Logger, Zupcon MultiF R5000) โดยตำแหน่งในการตรวจวัดของท่อความร้อนที่ติดตั้งวัสดุพรุนภายในแสดงไว้

ดังรูปที่ 2 ที่ส่วนทำระเหยตำแหน่ง ( $T_1, T_2, T_3$ ) ส่วนกันความร้อน ( $T_4, T_5$ ) ส่วนควบคุม ( $T_6, T_7, T_8$ ) โดยในส่วนของอุณหภูมน้ำเข้า-ออก ที่ส่วนทำระเหย ( $T_{11}, T_{12}$ ) และที่ส่วนควบคุม ( $T_9, T_{10}$ )

ซึ่งตัวแปรในการทดลองจะทำที่เงื่อนไขดังต่อไปนี้ (1) ท่อความร้อน 2 ชนิด ได้แก่ ท่อที่ติดตั้งวัสดุพรุน และไม่ติดตั้ง (2) ขนาดเส้นผ่านศูนย์กลางภายในท่อ 2 ขนาด ได้แก่ 10 และ 12 มิลลิเมตร (3) สารทำงานภายใน 3 ชนิด ได้แก่ น้ำกลั่น เอทานอล และ R-11 (4) อุณหภูมิที่ส่วนทำระเหย 3 อุณหภูมิ ได้แก่ 50, 70 และ 90 องศาเซลเซียส ตามเงื่อนไขการทดลองทั้งหมด สรุปไว้ดังตารางที่ 1

อัตราการเติมสารทำงานที่ร้อยละ 50 ของส่วนทำระเหยสามารถคำนวณได้จากสมการ (1)[11] และแสดงข้อมูลดังตารางที่ 2

$$\rho = \frac{m}{V} \quad (1)$$

โดยที่

- $\rho$  = ความหนาแน่นของสารทำงาน (กิโลกรัมต่อลูกบาศก์เมตร)  
 $m$  = มวลของสารทำงาน (กิโลกรัม)  
 $V$  = ปริมาตรร้อยละ 50 ของส่วนทำระเหย (ลูกบาศก์เมตร)

ตารางที่ 2 มวลของสารทำงานที่ร้อยละ 50 ของส่วนทำระเหย

สารทำงาน	ท่อขนาด 10 mm	ท่อขนาด 12 mm
น้ำกลั่น	3.93 กรัม	5.65 กรัม
เอทานอล	3.10 กรัม	4.46 กรัม
R-11	5.83 กรัม	8.39 กรัม

## 2.3 การคำนวณค่าอัตราการถ่ายโอนความร้อน (Heat Transfer Rate)

โดยการหาค่าการถ่ายโอนความร้อนของท่อ

ความร้อนให้ความร้อนแก่ส่วนทำระเหย (Heat Sink) สารทำงานได้รับความร้อน และก่อตัวเป็นฟองไอ (Vapor Bubble) และแท่งของเหลว (Liquid Plug) แล้วเคลื่อนที่ขึ้นไปยังส่วนควบแน่น จากนั้นฟองไอ จะถ่ายโอนความร้อนให้กับแหล่งรับความร้อน หรือค่าความร้อนที่นำรับความร้อนที่ส่วนควบแน่น (Heat Source) โดยการวัดค่าอุณหภูมิที่แตกต่างบริเวณทางเข้าและทางออกในส่วนควบแน่น ในการหาค่าการถ่ายโอนความร้อนนี้ ซึ่งเรียกว่า การถ่ายโอนความร้อนที่ได้จากการทดลอง และสามารถคำนวณหาได้จากสมการที่ (2) [11]

$$Q_{\text{exp}} = \dot{m}C_p(T_{\text{out}} - T_{\text{in}}) \quad (2)$$

โดยที่

$$\begin{aligned} Q_{\text{exp}} &= \text{ค่าการถ่ายโอนความร้อน (วัตต์)} \\ \dot{m} &= \text{อัตราการไหลเชิงมวล (กิโลกรัมต่อวินาที)} \\ C_p &= \text{ค่าความจุความร้อนจำเพาะของน้ำในส่วนควบแน่น (จูลต่อกิโลกรัม-เคลวิน)} \end{aligned}$$

$T_{\text{in}}$  = อุณหภูมิขาเข้าของน้ำ (องศาเซลเซียส)  
 $T_{\text{out}}$  = อุณหภูมิขาออกของน้ำ (องศาเซลเซียส)  
 และค่าการถ่ายโอนความร้อนต่อหน่วยพื้นที่ (Heat Flux) ที่ส่วนควบแน่นของท่อความร้อนสามารถหาได้จากสมการ (3) [11]

$$\dot{q} = \frac{Q_{\text{exp}}}{A_c} = \frac{Q_{\text{exp}}}{\pi d_o L_c} \quad (3)$$

โดยที่

$$\begin{aligned} \dot{q} &= \text{การถ่ายโอนความร้อนต่อหน่วยพื้นที่ (วัตต์ต่อตารางเมตร)} \\ A_c &= \text{พื้นที่เปลี่ยนความร้อนที่ส่วนควบแน่น (ตารางเมตร)} \\ d_o &= \text{เส้นผ่านศูนย์กลางภายในออกของท่อความร้อน (เมตร)} \\ L_c &= \text{ความยาวของส่วนควบแน่นของท่อความร้อน (เมตร)} \end{aligned}$$

และการพิจารณาการถ่ายโอนความร้อนของท่อความร้อน โดยนำเอาค่าอุณหภูมิที่ต่อกันร่วมในท่อความร้อน ซึ่งแสดงให้อยู่ในรูปแบบของค่าความต้านทานความร้อนของท่อความร้อน ความร้อนสามารถเข้าและออกได้ทั้ง 2 ส่วนของท่อความร้อน คือ ส่วนทำระเหย และส่วนควบแน่น ซึ่งเป็นการนำความร้อนจากแหล่งรับความร้อน และระบายน้ำร้อนออกให้กับแหล่งรับความร้อน

ทั้งนี้ขึ้นอยู่กับการออกแบบอุณหภูมิต่อกันร่วมที่เกิดขึ้นในแต่ละส่วนของท่อความร้อน ดังแต่ผังท่อความร้อน ทั้งส่วนทำระเหย และส่วนควบแน่น อุณหภูมิที่ส่วนรอยต่อระหว่างวัสดุพูนกับช่องไอที่เกิดขึ้นในส่วนทำระเหย และส่วนควบแน่น อุณหภูมิต่อกันร่วมที่เกิดขึ้นในช่องไอ ซึ่งสามารถหาค่าการถ่ายโอนความร้อนทางทฤษฎีได้จากสมการที่ (4) [12]

$$Q_{\text{theory}} = \frac{\Delta T}{R_{\text{total}}} \quad (4)$$

โดยที่

$$\begin{aligned} R_{\text{total}} &= R_1 + R_2 + R_3 + R_4 + R_5 \\ &\quad + R_6 + R_7 + R_8 + R_9 + R_{10} \end{aligned} \quad (5)$$

ซึ่ง  $R$  คือ ค่าความต้านทานความร้อนที่เกิดขึ้นกับท่อความร้อนในส่วนต่างๆ (องศาเซลเซียส/วัตต์)

โดยสมการหาค่าความต้านทานความร้อนของท่อความร้อนข้างต้น พบว่าค่าความต้านทาน  $R_4$ ,  $R_5$ ,  $R_6$  และ  $R_{10}$  นั้นมีค่าเชิงปริมาณที่น้อยกว่าหลักเท่าเมื่อเปรียบเทียบกับค่าความต้านทานความร้อนตัวอื่น ๆ ดังนั้นในการคำนวณจึงสามารถลากเว้นไม่นำมาพิจารณา  $R_4$  และ  $R_{10}$  เนื่องจากจำนวนนี้ยังสามารถลากเว้นไม่พิจารณา และ  $R_9$  เนื่องจากส่วนทำระเหย และส่วนควบแน่นสัมผัสโดยตรงกับแหล่งรับความร้อน และรับความร้อน และสำหรับท่อความร้อนที่ไม่ได้มีการติดตั้งวัสดุพูนชนิดตاخ่ายภายใน ยังสามารถลากเว้นการพิจารณา  $R_3$  และ  $R_7$  ดังสมการ (6)

$$Q_{theory} = \frac{\Delta T}{R_2 + R_8} \quad (6)$$

และสำหรับท่อความร้อนที่มีการติดตั้งวัสดุพูนชนิดตามข่ายภายในได้จากสมการที่ (7)

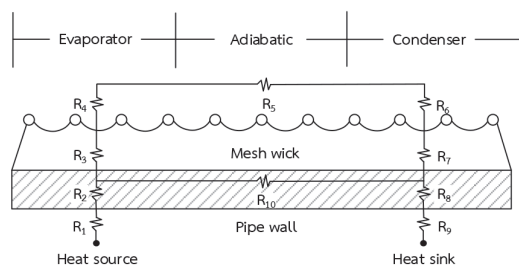
$$Q_{theory} = \frac{\Delta T}{R_2 + R_3 + R_7 + R_8} \quad (7)$$

โดย  $R_2 = \frac{\ln(d_o/d_i)}{2\pi k_{tube} L_e}$ ,  $R_8 = \frac{\ln(d_o/d_i)}{2\pi k_{tube} L_c}$  คือ

ความต้านทานความร้อนที่เกิดขึ้นที่ผนังท่อที่ส่วนทำระเหย และส่วนควบแน่น

และ  $R_2 = \frac{\ln(d_i/d_{iw})}{2\pi k_w L_e}$ ,  $R_7 = \frac{\ln(d_i/d_{iw})}{2\pi k_w L_c}$  คือ

ความต้านทานความร้อนที่เกิดขึ้นที่วัสดุพูนชนิดตามข่ายที่ส่วนทำระเหย และส่วนควบแน่น แสดงดังรูปที่ 4



รูปที่ 4 วัดความต้านทานทางความร้อน

สำหรับค่าประสิทธิภาพการถ่ายโอนความร้อนสามารถหาได้จากการถ่ายโอนความร้อนที่ได้จากการทดลองหารด้วยการถ่ายโอนความร้อนทางทฤษฎีดังสมการที่ (8)

$$\eta = \frac{Q_{exp}}{Q_{theory}} \times 100\% \quad (8)$$

โดยที่

$d_i$  = เส้นผ่านศูนย์กลางภายในของท่อความร้อน (เมตร)

$d_o$  = เส้นผ่านศูนย์กลางภายนอกของท่อความร้อน (เมตร)

$k_{tube}$  = ค่าการนำความร้อนของท่อทองแดง (วัตต์ต่อมเมตร-เคลวิน)

$k_w$  = ค่าการนำความร้อนของวัสดุพูนชนิดตามข่ายทองแดง (วัตต์ต่อมเมตร-เคลวิน)

$L_e$  = ความยาวของส่วนทำระเหยของท่อความร้อน (เมตร)

$Q_{theory}$  = การถ่ายโอนความร้อนทางทฤษฎี (วัตต์)

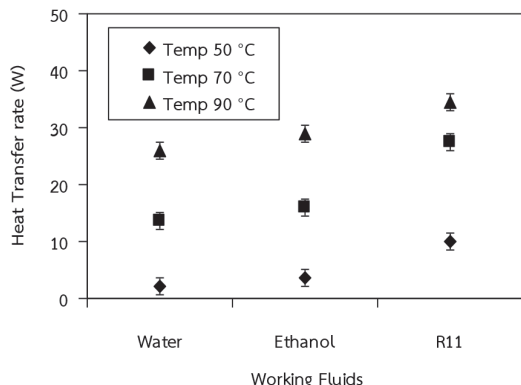
$\Delta T$  = ผลต่างของอุณหภูมิส่วนทำระเหย และส่วนควบแน่น (องศาเซลเซียส)

$\eta$  = ค่าประสิทธิภาพการถ่ายโอนความร้อน

### 3. ผลการศึกษาและอภิปรายผล

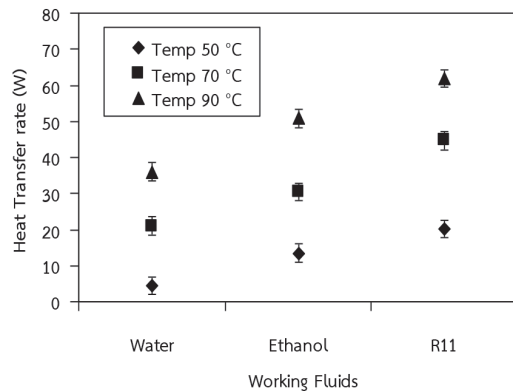
จากการทดลองสามารถวิเคราะห์ผลการทดลองได้ดังนี้

#### 3.1 ท่อความร้อนที่ไม่ติดตั้งวัสดุพูนภายใน



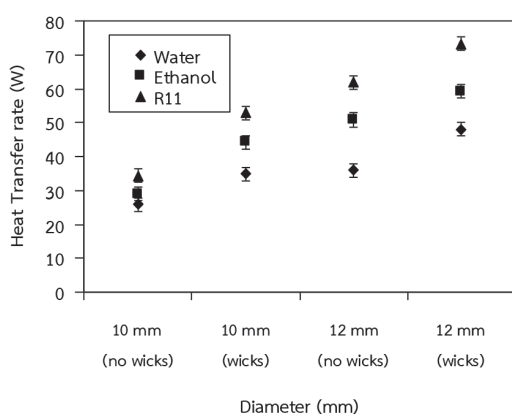
รูปที่ 5 ท่อความร้อนเส้นผ่านศูนย์กลาง 10 มิลลิเมตร ที่ไม่ได้ติดตั้งวัสดุพูนภายใน

จากรูปที่ 5 แสดงความสัมพันธ์ของสารทำงานน้ำ เอทานอล และ R-11 และอุณหภูมิที่ส่วนทำระเหย 50, 70 และ 90 องศาเซลเซียส ที่ขนาดเส้นผ่านศูนย์กลางภายใน 10 มิลลิเมตร ที่มีต่อการถ่ายโอนความร้อนของท่อความร้อน พบร้าท่อความร้อนที่ไม่ได้ติดตั้งวัสดุพรุนชนิดตาข่ายภายใน ใช้สารทำงาน R-11 ที่อุณหภูมิส่วนทำระเหย 90 องศาเซลเซียส ให้ค่าการถ่ายโอนความร้อนสูงสุด คือ 34.4 วัตต์ และในรูปจะแสดงแบบความคลาดเคลื่อนของข้อมูล ร้อยละ  $\pm 5$  โดยเกิดจากเครื่องมือวัดต่างๆ ซึ่งเห็นว่าเมื่อมีการเพิ่มอุณหภูมิส่วนทำระเหยขึ้น จะส่งผลต่อค่าการถ่ายโอนความร้อนเพิ่มขึ้นเช่นกัน โดยที่อุณหภูมิก็เป็นตัวแปรหนึ่งที่สำคัญต่อการทำงานของท่อความร้อน และจากผลของการทำงานภายใต้ท่อความร้อนพบร้าสารทำงาน R-11 ให้ค่าการถ่ายโอนความร้อนที่สูงกว่าสารทำงาน เอทานอล และน้ำกลั่น เนื่องจาก R-11 มีค่าความร้อนแฝงของการถ่ายโอนไอที่สูง และมีจุดเดือดที่ต่ำ เป็นผลให้รับความร้อนที่ส่วนทำระเหย แล้วเปลี่ยนสถานะจากของเหลวกลายเป็นไอ ซึ่งเป็นผลต่อความดันของสารทำงานที่เพิ่มขึ้นอย่างรวดเร็ว จึงทำให้รับความร้อนแล้วเคลื่อนที่ไปยังส่วนควบแน่นได้เร็ว ทำให้ผลของการถ่ายโอนความร้อนดีขึ้นในทุกช่วงอุณหภูมิส่วนทำระเหยที่เพิ่มขึ้นตามอุณหภูมิในการทดลอง ซึ่งสามารถอธิบายได้ว่าหากเลือกใช้สารทำงานที่มีจุดเดือดต่ำ ที่มีค่าความร้อนแฝงของการถ่ายโอนความร้อน และเป็นผลในเชิงเดียวกันกับสารทำงานเอทานอล ที่มีค่ามากกว่าน้ำกลั่น เช่นกัน เนื่องจากสารทำงานน้ำกลั่นอยู่ในสถานะของเหลวมากกว่าไอ จึงเกิดการเคลื่อนที่ได้ช้ากว่า เมื่อพิจารณาผลการทดลอง กับท่อความร้อนขนาดเส้นผ่านศูนย์กลางภายใน 12 มิลลิเมตร ที่ไม่ติดตั้งวัสดุพรุนภายใน พบร้ามีผลของการถ่ายโอนความร้อนในทำงดีเยิกกัน



รูปที่ 6 ท่อความร้อนเส้นผ่านศูนย์กลาง 12 มิลลิเมตร ที่ไม่ติดตั้งวัสดุพรุนภายใน

จากรูปที่ 6 พบร้ามีผลจากการถ่ายโอนความร้อนเป็นไปในทิศทางเดียวกันกับท่อความร้อนขนาดเส้นผ่านศูนย์กลางภายใน 10 มิลลิเมตร ที่เมื่อท่อมีขนาดใหญ่ขึ้นพบว่าค่าการถ่ายโอนความร้อนสูงขึ้น เป็นเพราะท่อความร้อนมีพื้นที่ในการแลกเปลี่ยนความร้อนเพิ่มขึ้น และมีช่องไอภายในที่ส่งผลต่อการเคลื่อนที่ของสารทำงานได้ดี จึงทำให้ค่าการถ่ายโอนความร้อนสูงขึ้น จากรูปที่ 6 พบร้าสารทำงาน R-11 ที่อุณหภูมิส่วนทำระเหย 90 องศาเซลเซียส ให้ค่าการถ่ายโอนความร้อนสูงสุด คือ 61.9 วัตต์ และพบร้าค่าการถ่ายโอนความร้อนของสารทำงานทุกตัวมีค่ามากกว่าท่อความร้อนขนาดเส้นผ่านศูนย์กลางภายใน 10 มิลลิเมตร ซึ่งสามารถเปรียบเทียบได้จากรูปที่ 7 ที่แสดงความสัมพันธ์ของค่าการถ่ายโอนความร้อนกับขนาดเส้นผ่านศูนย์กลางภายในของท่อความร้อน ที่อุณหภูมิส่วนทำระเหย 90 องศาเซลเซียส

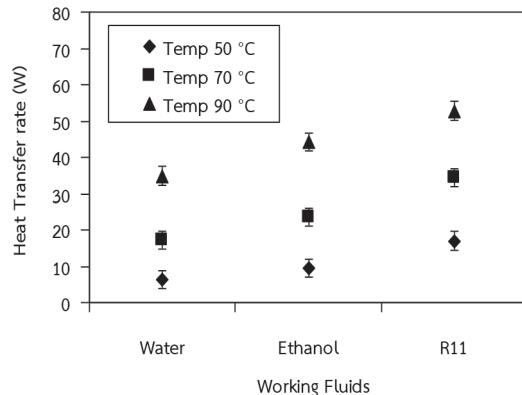


รูปที่ 7 ค่าการถ่ายโอนความร้อนกับเส้นผ่านศูนย์กลางภายในท่อความร้อนที่อุณหภูมิส่วนทำ雷hey 90 องศาเซลเซียส

### 3.2 ท่อความร้อนที่ติดตั้งวัสดุพรุนภายใน

จากรูปที่ 8 แสดงความสัมพันธ์ของสารทำงาน และอุณหภูมิที่ส่วนทำ雷hey เช่นเดียวกับรูปที่ 5 แต่มีตัวแปรที่เพิ่มเติมเข้ามา โดยการติดตั้งภายในท่อความร้อน คือ วัสดุพรุนชนิดตาข่าย เพื่อเปรียบเทียบค่าการถ่ายโอนความร้อนของท่อความร้อน พบร่วมกับความร้อนเส้นผ่านศูนย์กลาง 10 มิลลิเมตร ที่ติดตั้งวัสดุพรุนชนิดตาข่ายภายใน ช่วยให้มีการถ่ายโอนความร้อนที่สูงขึ้น ซึ่งเห็นได้จากค่าที่นำมาเปรียบเทียบกับท่อที่ไม่ได้ติดตั้งวัสดุพรุน โดยที่สารทำงาน R-11 ที่อุณหภูมิส่วนทำ雷hey 90 องศาเซลเซียส ให้ค่าการถ่ายโอนความร้อนสูงสุด คือ 52.8 วัตต์ เนื่องจากวัสดุพรุนจะช่วยในการลำเลียงสารทำงานที่เกิดการควบแน่นกลับมายังส่วนทำ雷hey เพื่อмар์บ์ความร้อนอีกรั้ง โดยแรงยกตัวที่เกิดจากวัสดุพรุนเป็นตัวดึงให้ของเหลวไหลกลับสู่ส่วนทำ雷hey และช่วยให้ของเหลวที่ควบแน่นกระจายตัวรอบผนังของท่อความร้อน เป็นผลให้สารทำงานที่ควบแน่นกลับสู่ส่วนทำ雷hey ได้ดี ซึ่งวัสดุพรุนเป็นตัวแบ่งลักษณะการเคลื่อนที่ของของเหลว ที่เคลื่อนที่จากส่วนทำ雷hey ไปยังส่วนควบแน่นกับของเหลวที่ควบแน่นกลับมายังส่วนทำ雷hey ไม่ให้เกิดการชน

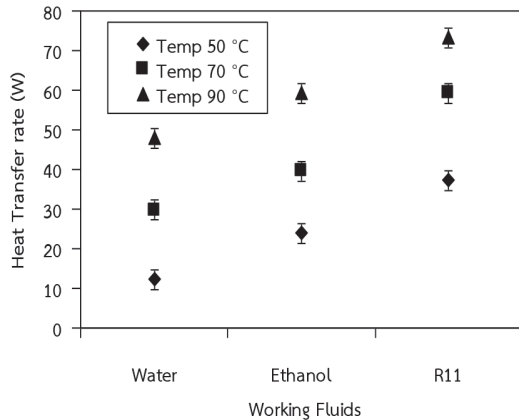
กันขึ้น [12] เป็นผลทำให้มีการขัดขวางการไหลของสารทำงานภายใน และวัสดุพรุนยังช่วยในการทำความร้อนที่ดีอีกด้วยนั่น จึงส่งผลต่อค่าการถ่ายโอนความร้อนที่สูงขึ้น



รูปที่ 8 ท่อความร้อนเส้นผ่านศูนย์กลาง 10 มิลลิเมตร ที่ติดตั้งวัสดุพรุนภายใน

ในทำงนเดียวกัน เมื่อทำการพิจารณาจากผลการทดลองกับท่อความร้อนขนาดเส้นผ่านศูนย์กลางภายใน 12 มิลลิเมตร ที่ติดตั้งวัสดุพรุนภายในดังรูปที่ 9 พบร่วมกับอุณหภูมิเส้นผ่านศูนย์กลางใหญ่ขึ้นเมื่อค่าการถ่ายโอนความร้อนสูงขึ้น เป็นเพราะท่อความร้อนมีพื้นที่ในการแลกเปลี่ยนความร้อนเพิ่มขึ้น และมีช่องไอภายในที่ส่งผลต่อการเคลื่อนที่ของสารทำงานได้ดีกว่า ท่อที่มีเส้นผ่านศูนย์กลาง 10 มิลลิเมตร และวัสดุพรุนก็เป็นตัวช่วยในการลำเลียงสารทำงานจากส่วนควบแน่นกลับมายังส่วนทำ雷hey โดยใช้หลักการของแรงยกตัวที่เกิดจากวัสดุพรุน จึงทำให้ค่าการถ่ายโอนความร้อนสูงขึ้น จากรูปที่ 8 พบร่วมกับสารทำงาน R-11 ที่อุณหภูมิส่วนทำ雷hey 90 องศาเซลเซียส ให้ค่าการถ่ายโอนความร้อนสูงสุด คือ 73.3 วัตต์ อธิบายได้ว่า อุณหภูมิในส่วนทำ雷hey มีผลแปรผันตรงกลับค่าการถ่ายโอนความร้อนของท่อความร้อน ทั้งท่อที่ติดตั้งและไม่ติดตั้งวัสดุพรุนภายในนั้นเอง แล้วยังพบว่าค่าการถ่ายโอนความร้อนของสารทำงานทุกตัวมีค่าที่มากกว่า

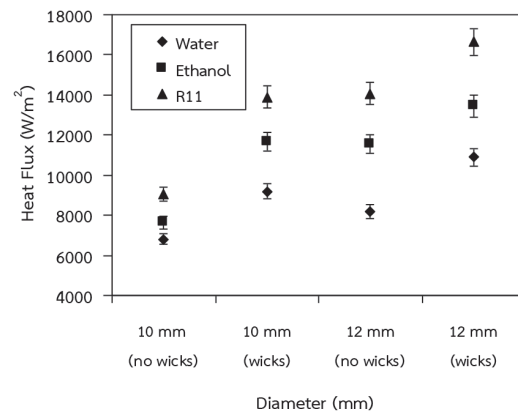
ท่อความร้อนขนาดเส้นผ่านศูนย์กลางภายใน 10 มิลลิเมตร ซึ่งสามารถเปรียบเทียบได้ดังรูปที่ 7



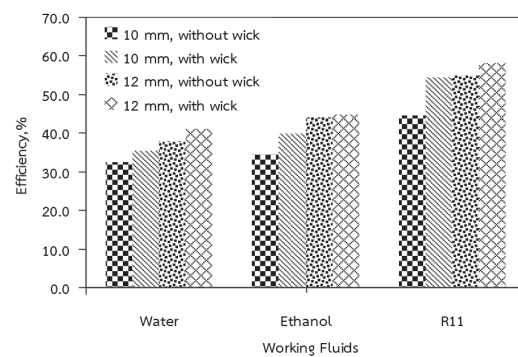
รูปที่ 9 ท่อความร้อนเส้นผ่านศูนย์กลาง 12 มิลลิเมตร ที่ติดตั้งวัสดุพรุนภายใน

แต่เมื่อทำการพิจารณาพื้นที่ในการแลกเปลี่ยนความร้อนที่ส่วนควบแน่นของท่อความร้อนขนาด 10 และ 12 มิลลิเมตร (ขนาดพื้นที่ในการแลกเปลี่ยนความร้อนของท่อมีค่า 0.0038 และ 0.0044 ตารางเมตร ตามลำดับ) โดยนำผลจากพื้นที่ของท่อความร้อนที่ส่วนควบแน่นไปหารกับค่าการถ่ายโอนความร้อนที่ได้ ก็จะได้เป็นค่าการถ่ายโอนความร้อนต่อหน่วยพื้นที่ (Heat Flux,  $\text{W}/\text{m}^2$ ) จากรูปที่ 10 เมื่อทำการเพิ่มขนาดเส้นผ่านศูนย์กลางภายในของท่อความร้อนจาก 10 มิลลิเมตร เป็น 12 มิลลิเมตร ส่งผลต่อพื้นที่ในการแลกเปลี่ยนความร้อนที่เพิ่มขึ้น จึงทำให้มีค่าการถ่ายโอนความร้อนเพิ่มขึ้นด้วย แต่เมื่อทำการพิจารณาท่อความร้อนขนาดเส้นผ่านศูนย์กลาง 10 มิลลิเมตร ที่ติดตั้งวัสดุพรุน กับท่อความร้อนขนาด 12 มิลลิเมตร ที่ไม่ติดตั้งวัสดุพรุน พบร่วางสัมพันธ์ที่แลกเปลี่ยนความร้อนเพิ่มขึ้นแต่ค่าการถ่ายโอนความร้อนต่อหน่วยพื้นที่ก็ยังมีค่าใกล้เคียงกับท่อความร้อนที่ติดตั้งวัสดุพรุน ขนาด 10 มิลลิเมตร สรุปได้ว่าวัสดุพรุนที่ติดตั้งเข้าไปจะช่วยในการถ่ายโอนความร้อนให้ท่อความร้อนได้ดีให้ขึ้น ถึงแม้ว่าพื้นที่ในการ

แลกเปลี่ยนความร้อนน้อยกว่าในขนาดท่อ 12 มิลลิเมตร ซึ่งเป็นอีกหนึ่งเหตุผลของการติดตั้งวัสดุพรุนเข้าไปในท่อความร้อน โดยวัสดุพรุนช่วยนำความร้อนจากส่วนที่ทำเรheat exchanger ไปยังส่วนควบแน่นด้วย และช่วยแบ่งการเคลื่อนที่ของสารทำงานภายในท่อความร้อน จึงส่งผลต่อค่าการถ่ายโอนความร้อนที่ดี



รูปที่ 10 ค่าการถ่ายโอนความร้อนต่อหน่วยพื้นที่แลกเปลี่ยนความร้อนของท่อความร้อนที่อุณหภูมิส่วนทำเรheat exchanger 90 องศาเซลเซียส



รูปที่ 11 ค่าประสิทธิภาพสูงสุดของท่อความร้อนที่อุณหภูมิ 90 องศาเซลเซียส

### 3.3 ประสิทธิภาพของท่อความร้อนที่ติดตั้งวัสดุพรุน

จากรูปที่ 11 แสดงค่าประสิทธิภาพของท่อความร้อนที่อุณหภูมิ 90 องศาเซลเซียส พบร่วางสัมพันธ์

ที่ติดตั้งวัสดุพรุนภายใน ขนาดเส้นผ่านศูนย์กลางภายใน 12 มิลลิเมตรโดยใช้สารทำงาน R-11 มีค่าประสิทธิภาพสูงสุดที่ร้อยละ 58.2 ซึ่งมากกว่าค่าประสิทธิภาพของท่อความร้อนที่ใช้สารทำงานเอทานอล และน้ำกําลัง คือ 44.8 และร้อยละ 41.1 ตามลำดับ เนื่องจากสารทำงาน R-11 มีค่าความร้อนแห้งของการเป็นไออุ่น จึงส่งผลต่อการถ่ายโอนความร้อนที่ดี และเมื่อมีการติดตั้งวัสดุพรุนภายใน จะช่วยในการลำเลียงสารทำงานที่เกิดการควบแน่นที่ส่วนควบแน่นกลับมายังส่วนทำระเหย เพื่อมารับความร้อน และช่วยให้ของเหลวที่ควบแน่นกระจายตัว รอบผนังของท่อความร้อน ซึ่งเกิดจากแรงยกตัวของวัสดุพรุนจึงทำให้ไม่เกิดการชนกันของสารทำงานภายในท่อความร้อน และเมื่อเปรียบเทียบกับท่อที่ติดตั้งวัสดุพรุนขนาด 10 มิลลิเมตร พบว่ามีประสิทธิภาพดีกว่า ซึ่งเป็นผลมาจากการความหนาของวัสดุพรุนที่มีผลต่อขนาดเส้นผ่านศูนย์กลางของช่องไอภายในท่อความร้อน ทำให้ช่องไอมีผลต่อการเคลื่อนที่ของสารทำงาน และขนาดเส้นผ่านศูนย์กลางภายในท่อถูกยังส่งผลต่อพื้นที่ในการแลกเปลี่ยนความร้อนที่เพิ่มขึ้นด้วย

#### 4. สรุป

การศึกษาพฤติกรรมของการถ่ายโอนความร้อนของท่อความร้อนที่ติดตั้ง และไม่ติดตั้งวัสดุพรุนภายใน โดยมีเส้นผ่านศูนย์กลางภายใน 10 และ 12 มิลลิเมตร ภายในท่อความร้อนใช้สารทำงาน น้ำกําลัง เอทานอล และ R-11 โดยมีอุณหภูมิส่วนทำระเหยเท่ากับ 50, 70 และ 90 องศาเซลเซียส จากผลการทดลองสามารถสรุปผลได้ดังนี้

1) ผลของการติดตั้งวัสดุพรุนภายในท่อความร้อนที่มีต่อการถ่ายโอนความร้อน วัสดุพรุนจะไปช่วยในการลำเลียงสารทำงานที่เกิดการควบแน่นกลับมายังส่วนทำระเหยเพื่омารับความร้อนอีกรึ้ง โดยแรงยกตัวที่เกิดจากวัสดุพรุนจะเป็นตัวดึงให้ของเหลวไหลกลับสู่

ส่วนทำระเหย และช่วยให้ของเหลวที่ควบแน่นกระจายตัวรอบผนังของท่อความร้อน เป็นผลให้สารทำงานที่ควบแน่นกลับสู่ส่วนทำระเหยได้ดี โดยวัสดุพรุนยังช่วยในเรื่องของการนำความร้อนจากส่วนทำระเหยไปยังส่วนควบแน่นด้วย และช่วยแบ่งการเคลื่อนที่ของสารทำงานภายในท่อความร้อน จึงส่งผลต่อค่าการถ่ายโอนความร้อนที่สูงขึ้น

2) ผลของขนาดเส้นผ่านศูนย์กลางภายในของท่อที่มีผลต่อค่าการถ่ายโอนความร้อนของท่อความร้อนพบว่า เมื่อขนาดเส้นผ่านศูนย์กลางภายในของท่อเพิ่มขึ้นจะให้ค่าการถ่ายโอนความร้อนเพิ่มขึ้น ตามไปด้วยโดยขนาดเส้นผ่านศูนย์กลางภายใน 12 มิลลิเมตร ให้ค่าการถ่ายโอนความร้อนสูงที่สุด เนื่องจากพื้นที่ในการแลกเปลี่ยนความร้อนเพิ่มขึ้น ทำให้การการรับและส่งถ่ายความร้อนได้ดี

3) ผลของสารทำงานที่มีต่อค่าการถ่ายโอนความร้อน ซึ่งสามารถอธิบายได้ว่าหากเลือกใช้สารทำงานที่มีจุดเดือดต่ำ ที่มีค่าความร้อนแห้งของการกalityเป็นไออุ่น ซึ่งอยู่ในสถานะของแก๊ส เมื่ออุณหภูมิสูงขึ้น ก็จะส่งผลโดยตรงกับค่าการถ่ายโอนความร้อนที่สูง เป็นผลให้รับความร้อนที่ส่วนทำระเหย แล้วเดือดกลายเป็นไอได้อย่างรวดเร็ว และเคลื่อนที่ไปยังส่วนควบแน่นได้เร็ว โดยสารทำงานที่ดีที่สุดคือ R-11

4) ผลของอุณหภูมิส่วนทำระเหยที่มีต่อการถ่ายโอนความร้อน เมื่อมีการเพิ่ออุณหภูมิส่วนทำระเหยขึ้น จะส่งผลต่อค่าการถ่ายโอนความร้อนที่เพิ่มขึ้น ซึ่งส่งผลต่อสถานะของสารทำงานภายในท่อความร้อนที่เปลี่ยนแปลง โดยที่อุณหภูมนี้เป็นตัวแปรหนึ่งที่สำคัญต่อการทำงานของท่อความร้อน ซึ่งจากการทดลองอุณหภูมิ 90 องศาเซลเซียส จะให้ค่าการถ่ายโอนความร้อนสูงที่สุด

5) ค่าประสิทธิภาพของท่อความร้อน เมื่อมีการติดตั้งวัสดุพรุนภายในท่อความร้อน ส่งผลทำให้มีค่าประสิทธิภาพทางความร้อนของท่อความร้อนเพิ่มขึ้นโดยท่อความร้อนที่ติดตั้งวัสดุพรุน ที่ขนาดเส้นผ่าน

ศูนย์กลางภายใน 12 มิลลิเมตร มีสารทำงาน R-11 ที่อุณหภูมิส่วนทำระเหย 90 องศาเซลเซียส จะให้ค่าประสิทธิภาพสูงสุดที่ร้อยละ 58.2

## 5. กิตติกรรมประกาศ

ขอทราบขอบพระคุณ สาขาวิชาเทคโนโลยีเครื่องกล คณะเทคโนโลยีอุตสาหกรรมเกษตร มหาวิทยาลัย การสินธุ์ และหน่วยวิจัยที่อุดมความร้อนและออกแบบ เครื่องมือทางความร้อน คณะวิศวกรรมศาสตร์ มหาวิทยาลัยมหาสารคาม ที่ได้ให้ความรู้ให้คำแนะนำ ให้กำลังใจตลอดการวิจัยที่ผ่านมา จนทำให้งานวิจัยนี้ สำเร็จตามเป้าหมาย

## 6. เอกสารอ้างอิง

- [1] L. Lin, R. Ponnappan and J. Leland, "High performance miniature heat pipe," *International Journal of Heat and Mass Transfer*, vol. 45, pp. 3131–3142, 2002.
- [2] L.L. Vasiliev, "Micro and miniature heat pipes-electronic component coolers," *Applied Thermal Engineering*, vol. 28, pp. 266–273, 2008.
- [3] J. Hirunlabh, P. Chantawong and J. Khedari, "A simple-low cost solar water heater for Thailand," *KMUTT Research and Development Journal*, vol. 23, pp. 109-120, 2000.
- [4] S. Sangiamsuk, S. Boothaisong and W. Dangton, "Solar collector from heat pipe with wick," in *Proceeding of the 31st Conference of Mechanical Engineering Network of Thailand (ME-NETT)*, Thailand, 2017.
- [5] P. Naphon, "On the performance of air conditioner with heat pipe for cooling air in the condenser," *Energy Conversion and Management*, vol. 51, pp. 2362-2366, 2010.
- [6] H. Akachi, F. Polasek and P. Stulc, "Pulsating heat pipes," in *Proceedings of the 5th International Heat Pipe Symposium*, Melbourne, Australia, 1996, pp. 208–217.
- [7] S. Sichamnan, T. Chompoonkham and S. Rittidech, "Efficiency Enhancement of Solar Panels using Copper Mesh Wick Heat Pipe," *UBU Engineering Journal*, vol. 9, no. 1, pp. 11-12, 2016.
- [8] S. Rittidech, *Heat-pipe Technology*, 1st ed. Mahasarakham: Mahasarakham University's Press, 2010.
- [9] L. Godson Asirvatham, R. Nimmagadda and S. Wongwises, "Heat transfer performance of screen mesh wick heat pipes using silver-water nanofluid," *International Journal of Heat and Mass Transfer*, vol. 60, pp. 201-209, 2013.
- [10] A. Brusly Solomon, K. Ramachandran, L. Godson Asirvatham and B.C. Pillai, "Numerical analysis of a screen mesh wick heat pipe with Cu/water nanofluid," *International Journal of Heat and Mass Transfer*, vol. 75, pp. 523–533, 2014.
- [11] C. A. Yunus, *Heat Transfer: A Practical Approach*, 2nd ed. USA: McGraw-Hill, 2004.
- [12] D. Reay, P. Kew and R. McGlen, *Heat Pipes Theory, Design and Applications*, 6th ed. UK: Butterworth-Heinemann, an imprint of Elsevier, 2014.